

Bindungstypen

- kovalente Bindung (Austausch gemeinsamer Elektronen, Überlapp)
- ionische Bindung: wenn Elektronenaustausch zu erhöhter Elektronendichte auf Atom A und zu erniedrigter Elektronendichte auf Atom B führt → Ausbildung der Ladungen
Bsp. 1. Spalte Periodensystem (H^+ + Alkalimetalle)
+ 7. Spalte: H^+Cl^- , Na^+I^- , Na^+Cl^-
WW: $\frac{1}{R}$ langreichweilig
- Van-der-Waals, zwischen neutralen, polarisierbaren Atomen schwach, kurzreichweilig $\frac{1}{R^6}$
- Wasserstoffbrücken Anziehung zw. zwei Atomen durch ein H^+ Ion Proton polarisiert die beiden Atome → anziehende Kraft Stärke: zw. VdW und Ionenbindung

Van-der-Waals Potential

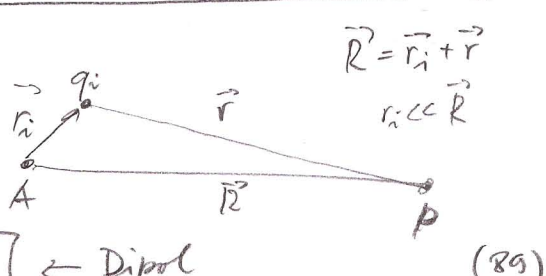
Bei grossen Kernabständen $R > r_{\text{A}} + r_{\text{B}}$ → kein Überlapp, kein Austausch. kann auch QM behandelt werden (2. Ordnung Störungsrechnung), aber Physik ist hier klassischer Natur (d.h. das Prinzip braucht keine QM)

Anwesenheit Atom B verändert Ladungsverteilung Atom A → polarisiert / kovalent, Multipolaanteile Coulomb WW entstehen und können Anziehung sein

Multipolentwicklung

$$\phi(R) = \frac{1}{4\pi\epsilon_0} \sum_i \frac{q_i(r_i)}{|R - \vec{r}_i|}$$

$$\begin{aligned} \vec{r}_i &= (x_i, y_i, z_i) \\ R &= (x, y, z) \end{aligned}$$



$$\text{Taylor} = \frac{1}{4\pi\epsilon_0} \left\{ \sum_i q_i + \frac{1}{R} \left[\frac{x}{R} \sum_i q_i x_i + \frac{y}{R} \sum_i q_i y_i + \frac{z}{R} \sum_i q_i z_i \right] \right\} \leftarrow \text{Dipol} \quad (89)$$

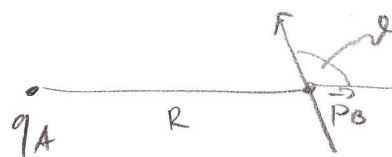
$$+ \frac{1}{2R^2} \left[\left(\frac{3x^2}{R^2} - 1 \right) \sum_i q_i x_i^2 + \text{dito } y \text{ und } z \right] + O\left(\frac{1}{R^3}\right)$$

$$= \phi_m(\sum_i q_i) + \phi_D(\sum_i p_i) + \phi_Q(\sum_i q_i x_i^2) \quad (90)$$

Setze nun Atom B an Ort P, Atom B: Gesamtladung q_B
 Dipolmoment \vec{p}_B
 Quadrupolmom. $Q\vec{M}_B$

$$E_{\text{pot}} = q_B \cdot \phi(P) + \vec{p}_B \cdot \vec{\nabla} \phi + Q\vec{M}_B \cdot \vec{\nabla} \vec{E}_A + \dots \quad (91)$$

mit $\vec{\nabla}$

Monopol term $\sim \frac{1}{4\pi\epsilon_0} \frac{q_A q_B}{R}$ (zwei Ionen)	Dipol term $\frac{1}{4\pi\epsilon_0} \frac{q_A p_B \cos \vartheta}{R^2}$ Ion + Dipol \Rightarrow Verbindungsradial	
---	--	--

(92)

Dipol + Dipol

$$-\vec{p}_A \cdot \vec{E}(p_B) \propto -\frac{p_A p_B}{4\pi\epsilon_0 R^3} \quad (\text{Wirkfunktion})$$

siehe Übung

(93)

Induziertes Dipolmoment zw. zwei neutralen Atomen:

$$\vec{p}_A^{\text{ind}} = \alpha_A \cdot \vec{E} \quad \alpha_A: \text{Polarisierbarkeit}$$

\vec{E} : gegebenes Feld

(94)

$$E_{\text{pot}} = -\vec{p}_A^{\text{ind}} \cdot \vec{E} = -\alpha_A \vec{E} \cdot \vec{E} \quad (95)$$

Für eine im zeitlichen Mittel kugelsymmetrische Ladungsverteilung der Elektronenhülle (z.B. H-Atom, 1s, 2s) $\rightarrow \langle \vec{p}_A \rangle = 0$, aber momentanes Dipolmoment $\vec{p}_A \neq 0$ mit Feld $\vec{E}_A = \frac{1}{4\pi\epsilon_0 R^3} (\vec{x})$.

Dieses Feld induziert in Atom B ein Dipolmoment $p_B^{\text{ind}} = \alpha_B E_A$, welches wiederum ein Feld E_B am Ort A erzeugt etc. $\rightarrow \langle p_A \rangle = \langle p_B \rangle \neq 0$ induzierte Dipolmomente // Kernadaxe (z.B. 2-Atomiges Objekt)

$$E_A = \frac{2p_A}{4\pi\epsilon_0 R^3} \hat{R} \quad E_B = \frac{2p_B}{4\pi\epsilon_0 R^3} \hat{R} \quad \text{Feld} \quad (96)$$

$$E_{\text{pot}} = -\vec{p}_B^{\text{ind}} \cdot \vec{E}_A = -\vec{p}_A \cdot \vec{E}_B \propto \alpha_A \alpha_B |E|^2 \propto -\frac{C}{R^6} \quad (97)$$

Weitere (höhere Ordnung) Terme Multipolentw.

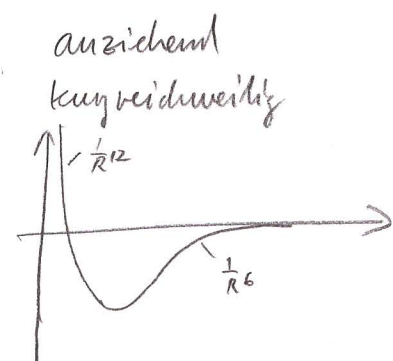
$\rightarrow R^{-8}, R^{-10}, R^{-12}, \dots$

empirisch

$E_{\text{pot}}(r) = \frac{a}{R^{12}} - \frac{b}{R^6}$

(98)

Lennard-Jones Potential



Rotationen und Schwingungen 2-Atomare Moleküle

Born-Oppenheimer Näherung: $\Psi(r, R) = \chi(R) \cdot \psi(r, R)$ (95)

\uparrow \uparrow
 Kern Elektronen

mit Kerngleichung: $\left\{ T_N + \varepsilon_a(R) \right\} \chi(R) = E \chi(R)$ (100)

ausgeschrieben: 2-Atomig $\left\{ -\frac{\hbar^2}{2M_A} \Delta_A - \frac{\hbar^2}{2M_B} \Delta_B + E_{\text{pot}}(R) \right\} \chi = E \chi$
 nur $|R\rangle$ abhängig

wieder nur H-Atome: Schwerpunktssystem, reduzierte Masse

$$M = \frac{m_A m_B}{m_A + m_B}$$
 (101)

$$\left\{ -\frac{\hbar^2}{2M} \nabla^2 + E_{\text{pot}}(R) \right\} \chi(R) = E \chi$$
 (102)

$$\chi = \chi(R, \vartheta, \varphi) = S(R) Y(\vartheta, \varphi) \rightarrow \text{quantenzahl } J$$
 (103)

Radial gl.: $\frac{1}{R^2} \frac{d}{dR} \left(R^2 \frac{dS}{dR} \right) + \frac{2M}{\hbar^2} \left[E - E_{\text{pot}}(R) - \frac{J(J+1)\hbar^2}{2MR^2} \right] S = 0$ (104)

Winkelgl.: $\frac{1}{\sin \vartheta} \frac{\partial}{\partial \vartheta} \left(\sin \vartheta \frac{\partial Y}{\partial \vartheta} \right) + \frac{1}{\sin^2 \vartheta} \frac{\partial^2 Y}{\partial \varphi^2} + J(J+1)Y = 0$ (105)

Starrer Rotator

starr $\rightarrow R = \text{fix}$, $\frac{d}{dR} = 0 \rightarrow [J] \text{ in (104)} = 0$, $E = E_{\text{kin}} + E_{\text{pot}} = E_{\text{Rot}} + E_{\text{pot}}$

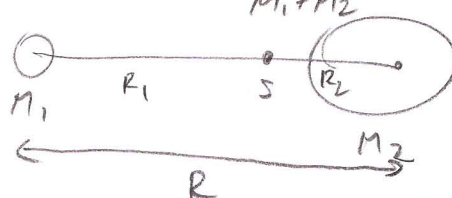
$$\rightarrow \boxed{E_{\text{Rot}} = \frac{J(J+1)\hbar^2}{2MR_e^2}} \quad J = 0, 1, 2, \dots \text{ diskrete Energien}$$
 (106)

erhält man auch „klassisch“ $E_{\text{kin}} = \frac{1}{2} I \omega^2$ ω : Winkelgeschw.

 (107)

$$I = \text{Trägheitsmoment} = m_1 R_1^2 + m_2 R_2^2 = MR^2$$
 (108)

$$M = \frac{m_1 m_2}{m_1 + m_2} \quad \text{reduzierte Masse}$$



$$\text{Drehimpuls } |J| = I\omega$$
 (109)

$$J^2 = J(J+1)\hbar^2 \quad \text{H-Atom Lösung}$$
 (110)

$$\rightarrow E_{\text{kin}} = \frac{1}{2} I \omega^2 = \frac{1}{2} \frac{J^2}{I}$$